

верхности. Таким образом, в пламенах обычно образуются не отдельные сферические частицы, а цепочечноподобные агрегаты.

Если уже сформировавшаяся частица приобретет в пламени достаточный электрический заряд и окажется в зоне, где активно образуются цепи, то на ней может возникнуть вторичный каркас (см. рис. 1, б), а на нем — физическая поверхность.

Ароматические углеводороды при $T < 1750 \div 1800$ К порождают в пламени при отрыве атомов водорода радикалы с ароматической структурой, которые участвуют в образовании радикалов зародышей и более плотных, чем в ацетилене, сажевых частиц [3]. Поэтому появляющаяся при горении, например, бензола сажа имеет две системы: более крупные сферические частицы низкой плотности, сконгелировавшиеся в цепочечноподобные агрегаты и нескоагулировавшиеся мелкие, но плотные частицы, на которых может при описанных выше условиях происходить построение вторичного каркаса (см. рис. 1, в).

Предложенный механизм позволяет качественно объяснять особенности структуры и процессов образования сажи.

ЛИТЕРАТУРА

1. Haynes B. S., Wagner H. Gg. Soot formation // Prog. Energy Combust. Sci.—1981.—17, N 4.—P. 229—273.
2. Heidenreich R. D., Hess W. M., Ban L. L. A test object and criteria for high resolution electron microscopy // J. Appl. Crystallogr.—1968.—N 1.—P. 1—19.
3. Теснер П. А. Образование углерода из углеводородов газовой фазы.—М.: Химия, 1972.—136 с.
4. Taran E. N. The effect of alternating electric field on the soot formation in low-pressure diffusion counterflow hydrocarbon flames // IV Int. Seminar.—Novosibirsk, 1992.—P. 56.
5. Таран Э. Н. О структуре сажи // Адсорбция и хроматография макромолекул эластомеров: Материалы II Всесоюз. семинара по адсорбции и жидкостной хроматографии эластомеров.—М., 1989.—4.1.—С. 190—201.
6. Таран Э. Н., Присяжков В. Ф. О природе сажи // Структура газофазных пламен: Материалы II Междунар. семинара по структуре газофазных пламен.—Новосибирск: ИТПМ СО АН СССР, 1988.—4.1.—С. 104—113.
7. Calcote H. F. Mechanisms of soot nucleation in flames — a critical review // Combust. Flame.—1981.—42.—P. 215—242.
8. Bonne U., Homann K. H., Wagner H. Gg. Carbon formation in premixed flames // Tenth Symp. (Int.) on Combust., The Combust. Inst., Pittsburgh.—1965.—P. 502—512.
9. Homann K. H., Wagner H. Gg. Some new aspects of the mechanism of carbon formation in premixed flames // Eleventh Symp. (Int.) on Combust., The Combust. Inst., Pittsburgh.—1967.—P. 371—379.
10. Wegner G. // Angew. Chem. Int.—1986.—20.—S. 361.
11. Гарнёв Ф. Проводящие полимеры // УФН.—1989.—157, вып. 3.—С. 513—527.
12. Фукс Н. А. Механика аэрозолей.—М.: Изд-во АН СССР, 1955.—352 с.
г. Киев

УДК 542.921.4 : 539.215.4

Э. Н. Таран

ВЛИЯНИЕ ПЕРЕМЕННОГО ЭЛЕКТРИЧЕСКОГО ПОЛЯ НА ОБРАЗОВАНИЕ САЖИ В ДИФФУЗИОННЫХ УГЛЕВОДОРОДНЫХ ПЛАМЕНАХ НИЗКОГО ДАВЛЕНИЯ НА ВСТРЕЧНЫХ СТРУЯХ

Исследовано влияние постоянных и переменных электрических, а также магнитного полей на образование сажи в плоских диффузионных ацетилено- и бензол-кислородных пламенах низкого давления на встречных струях. При наложении па пламя электрических полей наблюдалось уменьшение выхода сажи и образование в пламени плотных агрегатов в виде ламелей и капелек. Показано, что сажевые

© Э. Н. Таран, 1993.

агрегаты имеют каркас. Переменные электрические поля, накладываемые на пламя, препятствуют образованию каркаса, смещают процесс формирования агрегатов на более поздние стадии формирования сажевого аэрозоля, что приводит к образованию плотных агрегатов, уменьшает выход сажи. Сделан вывод, что наблюдаемые мельчайшие частицы углерода (менее 1 нм) — основные структурные единицы сажи. В пламени в магнитном поле структурные единицы сажи образуют цепи, из которых формируются домены.

Известно [1], что электрическое поле умеренной напряженности оказывает сильное влияние на процесс образования сажи в пламенах [1—4]. В проведенных исследованиях продемонстрирована важная роль ионов при зарождении сажевых частиц и их росте. Показано также, что размеры и масса сажевых частиц, осаждаемых из пламени, определяются временем их пребывания в зоне образования, а потому и величиной электрического поля. Однако влияние переменных электрических полей на этот процесс не изучено.

В [5] изучалось воздействие переменного электрического поля на спектр излучения коптящего пламени и на свойства образующейся сажи. Важные сведения можно получить, изучая влияние переменного электрического поля на структуру сажи.

В настоящей работе образцы сажи получали в плоских диффузионных пламенах, образующихся в результате слияния встречных потоков горючего и окислителя. В качестве горючего использовались ацетилен и бензол, окислитель — кислород. Опыты проводили при давлении $p = 1,6 \div 160$ Торр. На пламя накладывались переменные и постоянные электрические $E = 70 \div 300$ В/см, а также неоднородные магнитные поля. Напряжение подавалось к матрицам плоских горелок. Среднее значение индукции магнитного поля равно $b \approx 0,5$ Тл.

Тонкие слои сажевых агрегаций осаждались непосредственно на электронно-микроскопические сетки, которые помещали во время контролируемых промежутков времени ниже пиролизной зоны пламени. Просвечиванием тонкого слоя сажи, осажденного на углеродной подложке, получали микроснимки и определяли размеры отдельных частиц, используя увеличение электронного микроскопа 14 000, 60 000 и 200 000. Размеры первичных частиц находились путем их считывания на кривой микрофотометрирования частиц. Проводились также электронографические и фазовые исследования образцов сажи.

При наложении на пламя переменного электрического поля выход сажи из пламени уменьшался более чем на порядок, также наблюдалось расслоение реакционной и пиролизной зон. Переменные электрические поля оказывали сильные эффекты на морфологию и структуру сажи.

На рис. 1 приведены электронно-микроскопические снимки агрегатов сажи ($a \div \delta$), образующейся в ацетилено- ($a \div \varepsilon$) и бензолкислородном (δ) пламенах, горящих при $p = 30$ Торр, во внешнем постоянном (a) и переменном ($b \div \delta$) электрических полях частотой 50 (b), 400 (ε) и 1000 Гц (ε, δ); на рис. 1, $e \div z$ — электронограммы агрегатов, показанных на рис. 1, a, ε, δ соответственно. На рис. 1, a, ε, δ видны цепочечно-подобные агрегаты, на рис. 1, b — агрегат из отдельных слабо связанных частиц. На рис. 1, a часть цепочечноподобного агрегата и расположенные близко к нему частицы, покрытые слоем адсорбированного углерода, образуют плотный агрегат в виде ламели (см. также рис. 1, ε). На рис. 1, ε наблюдаются плотные агрегаты в виде капелек. Плотные агрегаты в виде ламелей и капелек преимущественно образовывались в пламенах ацетилена как в постоянном, так и в переменном электрическом поле. В пламенах в переменном электрическом поле размеры плотных агрегатов и частиц, из которых они состоят, с ростом частоты электрического поля увеличивались.

На картинах дифракции электронов (см. рис. 1, $e \div z$) на плотных агрегатах видны четкие точечные рефлексы. Точечная электронограмма, приведенная на рис. 1, e , представляет собой базисную плоскость обратной решетки кристалла гексагональной системы. Изменение периодов дает значение параметра $a = 0,894$ нм. Для кристаллических включений,

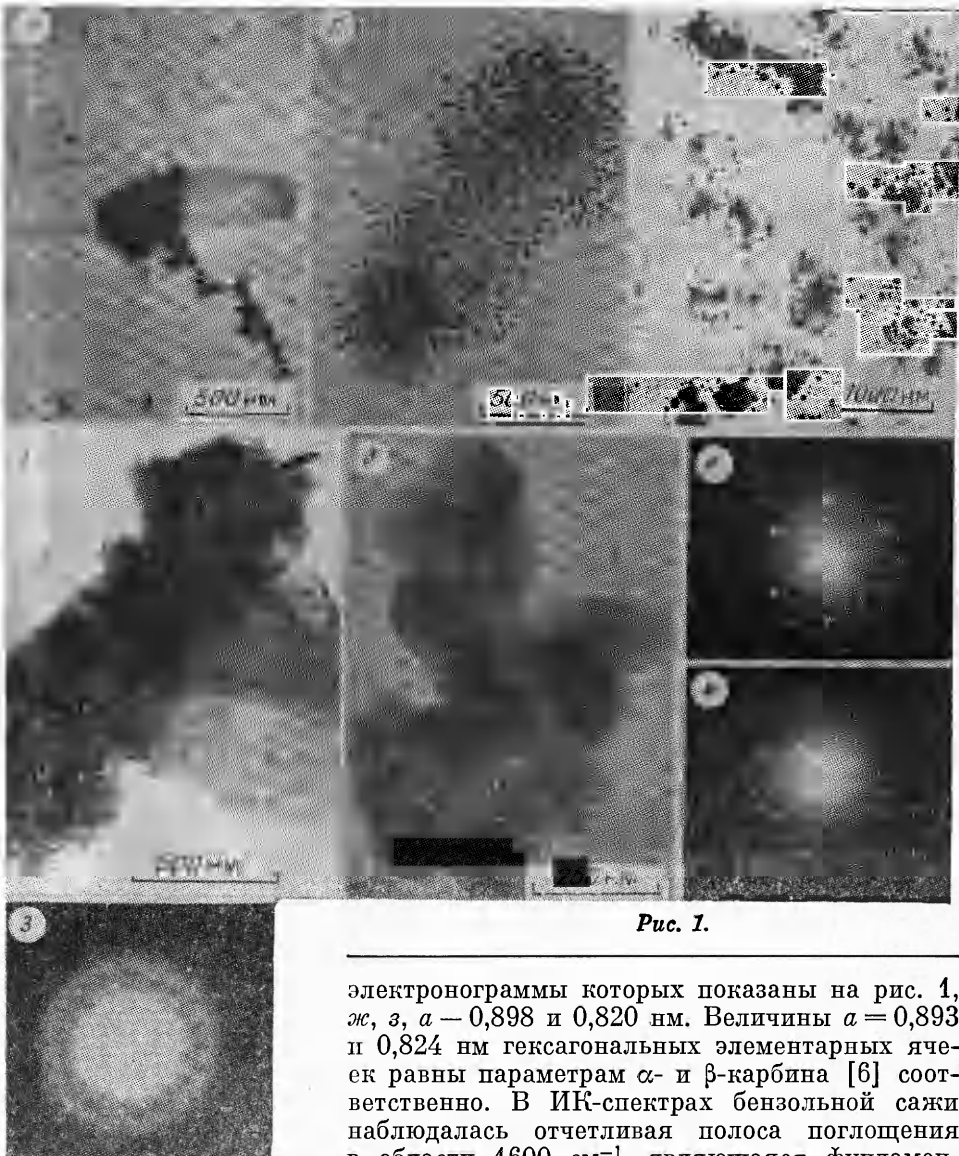


Рис. 1.

электронограммы которых показаны на рис. 1, жс, з, а — 0,898 и 0,820 нм. Величины $a = 0,893$ и $0,824$ нм гексагональных элементарных ячеек равны параметрам α - и β -карбина [6] соответственно. В ИК-спектрах бензольной сажи наблюдалась отчетливая полоса поглощения в области 1600 см^{-1} , являющаяся фундаментальной полосой β -карбина [7]. Таким образом, в пламенах ацетилена и бензола в электрическом поле одновременно образуются графитообразный и цепочечный углерод. В пламени ацетилена преимущественно получаются полииновые $(-\text{C}\equiv\text{C}-)_n$, а в пламени бензола кумуленовые цепи $(=\text{C}=\text{C}=)_n$.

На рис. 2 приведены электронно-микроскопические снимки первичных сажевых агрегаций, образующихся в пламени ацетилена (а, б, г, е), и бензола (в, д, жс) в отсутствие (а — в) и при наложении электрического (г, д) и магнитного (е, жс) полей.

Пространственные структуры, показанные на рис. 2, а, б, представляют собой сетки, а на рис. 2, в — поле мельчайших слабосвязанных частиц. Сетка, приведенная на рис. 2, а, состоит из удлиненных ориентированных частиц и нитей, связывающих частицы в направлении их преимущественной ориентации x . Видны также формирующиеся поперечные спшивки, соединяющие частицы в направлении y , перпендикулярном направлению преимущественной ориентации системы. Сетка на рис. 2, б, состоит из приблизительно сферических частиц, спрятых поперечными и продольными связями, и характеризуется множеством пустот и разрывов. На рис. 2, г, д наблюдаются слабосвязанные частицы, близкие по форме

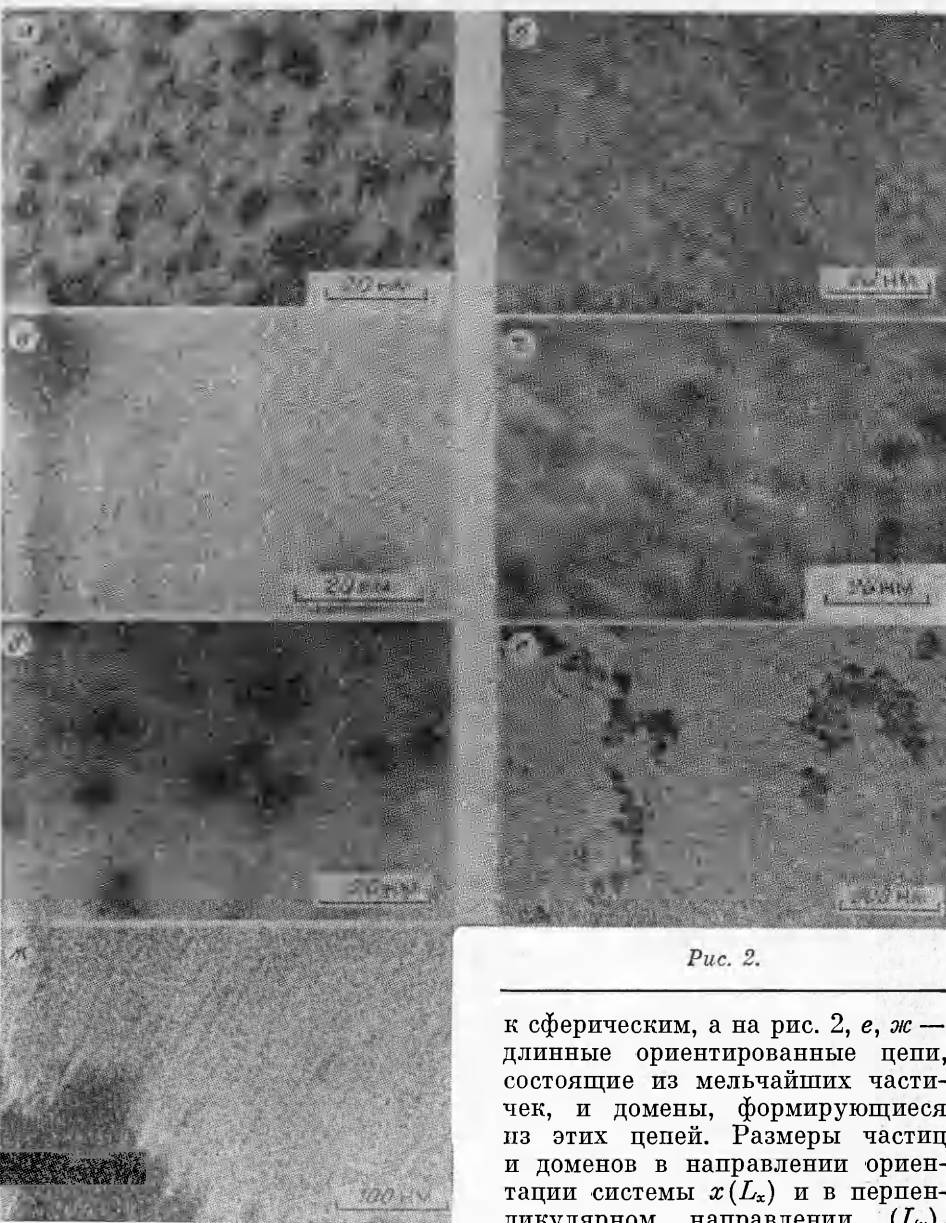


Рис. 2.

частичами в направлениях x и y соответственно приведены в таблице.

Из таблицы видно, что размеры первичных частиц ацетиленовой сажи, образующихся в пламени в отсутствие и при наложении постоянного электрического поля, $L_y \leq 2$ нм, расстояние наибольшего сближения частиц $b_y \geq 2$ нм. Под действием переменного электрического поля в пламенах ацетилена и бензола образуются частицы, размеры которых превышают размеры первичных частиц более чем в 2 раза, расстояние между частицами превышает расстояние наибольшего сближения частиц более чем в четыре раза, что связано с коагуляцией заряженных первичных частиц. Увеличение расстояния между частицами вследствие роста сил кулоновского отталкивания между частицами при удвоении электрического заряда затрудняет их переход в связанное состояние, препятствует образованию сетки, смещает процесс образования сажевых агрегатов на более поздние стадии формирования сажевого аэрозоля.

Задержка образования пространственной структуры приводит к тому, что в пламенах возникают большие макромолекулы и радикалы в

Размеры первичных сажевых частиц

Смесь	Давление	$E, \text{ В/см}$	$f, \text{ Гц}$	$b, \text{ Тл}$	$L_x, \text{ нм}$	$L_y, \text{ нм}$	$b_x, \text{ нм}$	$b_y, \text{ нм}$
$\text{C}_2\text{H}_2 + \text{O}_2$	4,6	—	—	—	2,0	2,0	4,0	2,6
	4,6	70	—	—	4,0	1,8	5,5	2,0
	160	—	—	—	2,0	2,0	2,5	2,3
	160	200	50	—	4,1	4,2	11,2	10,2
	160	200	400	—	5,8	5,5	10,4	8,1
	160	200	1000	—	5,0	4,5	9,3	9,3
	160	—	—	0,5	5,1	12,3	—	—
	160	200	1000	—	6,5	4,5	9,0	9,0
$\text{C}_6\text{H}_6 + \text{O}_2$	160	—	—	0,5	28	26,0	—	—

сверхравновесных концентрациях. Помимо графитоподобных слоев в пламени ацетилена образуются длинные полииновые цепи ($-\text{C}=\text{C}-$)_n, в пламени бензола — длинные кумуленовые цепи ($=\text{C}=\text{C}=$)_n. С переходом в связанное состояние частиц, приводящим к образованию физической поверхности, происходит быстрое осаждение цепочечных и гексагональных структур на сформировавшейся физической поверхности. Последнее обуславливает образование в пламени плотных агрегатов в виде ламелей и капелек.

Интересен факт формирования в пламени бензола в переменном электрическом поле как частиц, так и связей между ними (см. рис. 2, *д*) из одних и тех же мельчайших частиц углерода (см. рис. 2, *в*). Можно предположить, что частицы и нити, образующиеся в ацетиленовом пламени (см. рис. 2, *а, б, г*), также состоят из этих мельчайших частиц. Действительно, при внимательном рассмотрении можно заметить, что как первичные частицы, так и продольные и поперечные связи между ними формируются из этих частиц. Тот факт, что наблюдаемые мельчайшие частички углерода образуют первичные частицы и связи между ними, позволяет сделать вывод, что обнаруженные мельчайшие частички углерода — основные структурные единицы сажи. Последние, вероятно, имеют форму, близкую к сфероидальной. Их диаметр сравним с диаметром молекулы C_{60} , равным 0,7 нм [8].

На рис. 2, *е* видно, что структурные единицы сажи имеют боковые цепи, обеспечивающие их ориентацию в пламени в магнитном поле и быстрый переход этих единиц углерода в связанное состояние. Быстрый переход структурных единиц углерода в пламени в связанное состояние не позволяет их обнаружить масс-спектрометрически [9], несмотря на то, что они могут формироваться в пламенах в больших концентрациях. Первичные частицы сажи представляют собой кластеры, состоящие из хаотически расположенных структурных единиц, связанных между собой боковыми цепями. Сшивка первичных частиц нитями, образованными теми же единицами углерода, приводит к образованию длинных непрерывных нитей или лент, наблюдавшихся в саже и других углеграфитовых материалах методами электронной микроскопии высокого разрешения [10].

В пламенах бензола структурные единицы сажи образуются в больших концентрациях (примерно в 2 раза больше), чем в пламени ацетилена. Однако структурные единицы углерода у ацетиленовой сажи имеют значительно более длинные боковые цепи, что обуславливает образование в пламени ацетилена доменов относительно малых размеров по сравнению с размерами доменов, получаемых в пламени бензола в магнитном поле. Боковые цепи структурных единиц ацетиленовой сажи имеют полииновую, а бензольной сажи — кумуленовую структуру.

ЛИТЕРАТУРА

1. Ляутон Дж., Вайнберг Ф. Электрические аспекты горения.— М.: Энергия, 1976.— 206 с.
2. Mayo P. J., Weinberg F. J. On the size, charge and number-rate of formation of carbon particles in flames subjected to electric fields // Proc. Roy. Soc. (L).— 1970.— A319, N 1538.— Р. 351—374.
3. Таран Э. Н., Присняков В. Ф. Влияние электрического поля на спектр излучения и образование сажи при горении углеводородов // Структура газофазных пламен: Материалы 2-го Междунар. семинара «Структура газофазных пламен».— Новосибирск: ИТПМ, 1988.— Ч. III.— С. 96—106.
4. Таран Э. Н., Присняков В. Ф. О природе сажи // Там же.— Ч. I.— С. 104—113.
5. Taras E. N., Prysnyakov V. Ph. Spectroscopic studies of electric discharges in fuel-rich hydrocarbon flame // Abstr. Europhys. Conf. X — ESCAMPIG — 90 — European Phys. Soc.— 1990.— Р. 343—344.
6. Касаточкин В. Н., Коршак В. В., Кудрявцев Ю. П. и др. О полиморфизме карбона // Докл. АН СССР.— 1974.— 214, № 3.— С. 587—589.
7. Коршак В. В., Кудрявцев Ю. П., Евсюков С. Е. и др. Инфракрасные спектры карбона // Там же.— 1988.— 298, № 6.— С. 1431—1434.
8. Елецкий А. В., Смирнов Б. М. Кластер C_{60} — новая форма углерода // УФН.— 1991.— 161, № 7.— С. 173—192.
9. Gerhardt Ph., Löffler S., Homann K. H. Polyhedral carbon ions in hydrocarbon flames // Chem. Phys. Lett.— 1987.— 137, N 4.— Р. 306—310.
10. Ban L. L. Direct study of structural imperfections by highresolution electron microscopy. Surface and defect properties of solids // The Chem. Soc. (L).— 1972.— 1.— Р. 54—94.

г. Днепропетровск

УДК 614.841.12

B. N. Дащевский, B. C. Фиалков

АВТОКОЛЕБАТЕЛЬНЫЙ РЕЖИМ ДИФФУЗИОННОГО ГОРЕНИЯ ГАЗА В ЭЛЕКТРИЧЕСКОМ ПОЛЕ, СОСРЕДОТОЧЕННОМ В ПРЕДПЛАМЕННОЙ ЗОНЕ

Описаны результаты экспериментов по влиянию постоянного электрического поля на диффузионное горение пропан-бутана. Исследованы особенности экспериментально обнаруженного автоколебательного режима горения, заключающегося в строгом периодическом изменении поверхности фронта пламени при фиксированном расходе топлива и постоянной разности потенциалов на электродах. Предложена гипотеза, качественно объясняющая полученные эффекты.

Эксперименты по изучению воздействия поля на диффузионные пламена проводились на установке, показанной на рис. 1. Измерялись изменения напряжения и тока в разрядном промежутке, площади поверхности пламени (по величине интегрального излучения конуса пламени, изображение которого фокусировалось на фотодиоде), а также интенсивности излучения радикалов CH^* и C_2^* из пригорелочной области пламени. Расход топлива варьировался от 2 до 6 см³/с.

Установлено, что при положительной полярности центрального электрода, начиная с напряжения $V = 2$ кВ, интенсифицировались процессы сажеобразования, поверхность пламени несколько увеличивалась, а интенсивность излучения радикалов CH^* и C_2^* уменьшалась. При увеличении напряжения эта тенденция сохранялась вплоть до пробоя, который наступал при $V = 8,2$ кВ. Ток в межэлектродном промежутке с ростом напряжения вплоть до пробоя рос линейно.

Нетривиальные результаты получены для случая, когда направление поля изменялось на противоположное. Здесь изучены два варианта наложения поля: когда внешний электрод выполняется в виде кольца либо спирали, охватывающей определенную часть высоты пламени.

© В. Н. Дащевский, Б. С. Фиалков, 1993.